

Rys. 2-16. AAY37

**Typ diody:** dioda germanowa

**Firma:** UNITRA-CEMI

**Wykonanie:** dioda germanowa ze złotym ostrzem w obudowie szklanej DO-7, ciężar około 0,4 G

**Zastosowanie:** układy przełączające średniej szybkości

**Typy podobne:** OA47, OA80, 81

**Wartości charakterystyczne<sup>1)</sup>**

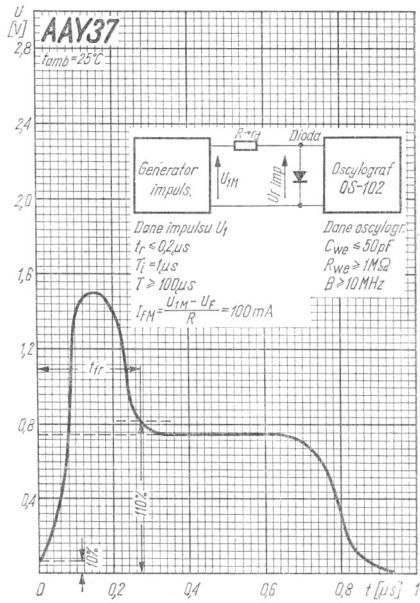
	typ	max		
$U_F$	0,4	0,5	V	przy $I_F = 10$ mA
$U_F$	0,38	0,45	V	przy $I_F = 10$ mA, $t_{amb} = 60^\circ\text{C}$
$I_R$	1	8	$\mu\text{A}$	przy $U_R = 10$ V
$I_R$	8	40	$\mu\text{A}$	przy $U_R = 10$ V, $t_{amb} = 60^\circ\text{C}$
$I_R$	4	50	$\mu\text{A}$	przy $U_R = 25$ V
$I_R$	30	160	$\mu\text{A}$	przy $U_R = 25$ V, $t_{amb} = 60^\circ\text{C}$
$U_{F\text{imp}}$	0,75	1,2	V	przy $I_{FM} = 100$ A, $t = 0,5$ $\mu\text{s}$
$I_{R\text{imp}}$	30	250	$\mu\text{A}$	przy przełączeniu $I_{FM} = 5$ mA, $U_{RM} = 5$ V, po czasie $t = 0,5$ $\mu\text{s}$
$I_{R\text{imp}}$	4	25	$\mu\text{A}$	przy przełączaniu $I_{FM} = 5$ mA, $U_{RM} = 5$ V, po czasie $t = 3,5$ $\mu\text{s}$
$C_D$	1	3,5	pF	przy $U_R = 0,75$ V, $f_p = 10,7$ MHz

**Wartości graniczne**

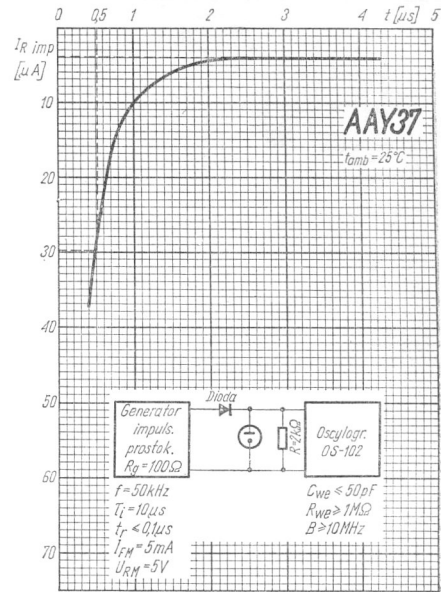
	$t_{amb} = 25^\circ\text{C}$	$t_{amb} = 60^\circ\text{C}$		$I_{FM\text{ max}}$	150	150	mA
$U_R\text{ max}$	25	25	V	$I_{FMS\text{ max}}$	200 <sup>2)</sup>	200 <sup>2)</sup>	mA
$U_{RM}\text{ max}$	25	25	V	$t_j\text{ max}$	75	75	$^\circ\text{C}$
$U_{RMS}\text{ max}$	30 <sup>2)</sup>	30 <sup>2)</sup>	V	$t_{stg}$	-40	÷	+75
$I_F\text{ max}$	110	50	mA				$^\circ\text{C}$

<sup>1)</sup>  $t_{amb} = 25^\circ\text{C}$

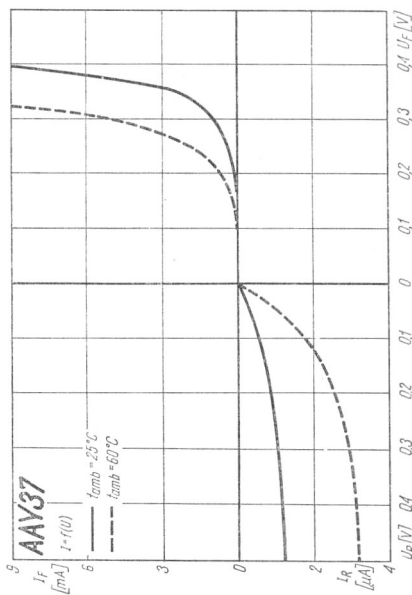
<sup>2)</sup> czas przeciążania  $t_i \leq 1$  s



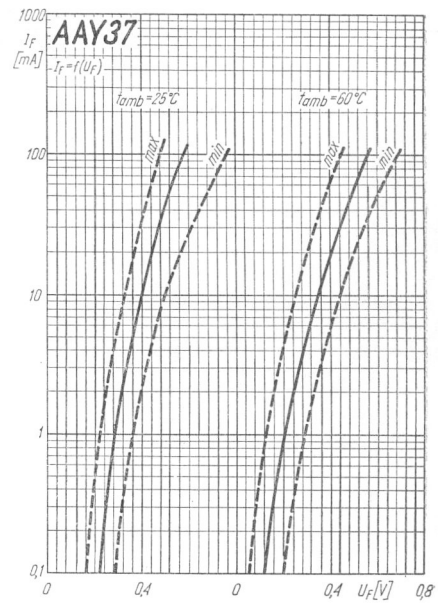
Rys. 2-17. Charakterystyka impulsowego napięcia przewodzenia oraz schemat układu pomiarowego



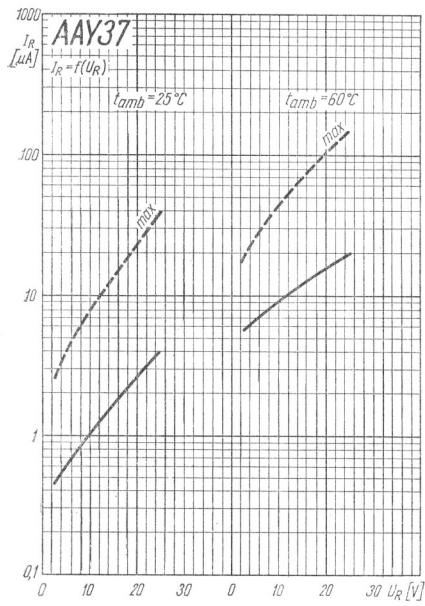
Rys. 2-18. Charakterystyka prądu wstecznego  $I_{Rimp}$  po przełączeniu z kierunku przewodzenia na kierunek wsteczny oraz schemat układu pomiarowego



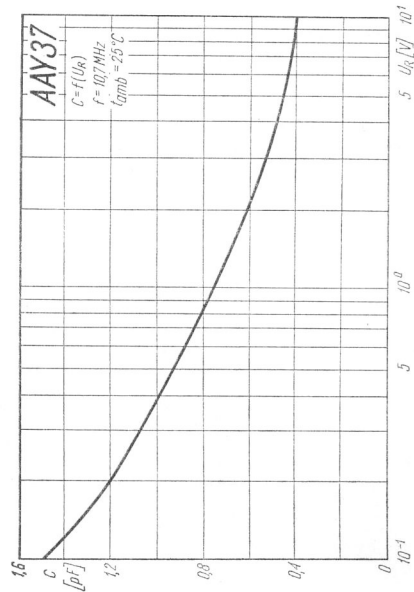
Rys. 2-19. Początkowy zakres charakterystyki diody



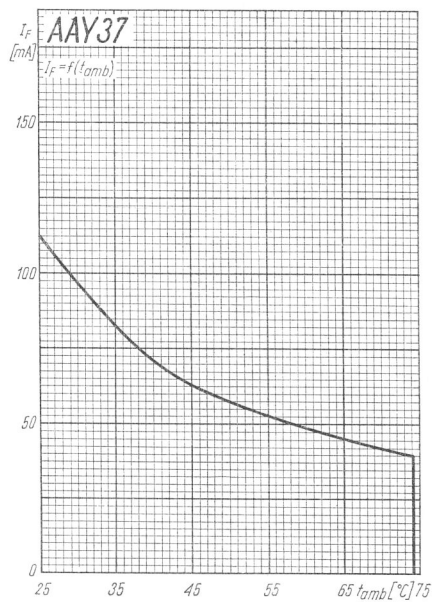
Rys. 2-20. Charakterystyki prądu przewodzenia diody



Rys. 2-21. Charakterystyka prądu wstecznego diody



Rys. 2-22. Zależność pojemności diody od napięcia wstecznego



Rys. 2-23. Zależność dopuszczalnego prądu przewodzenia od temperatury otoczenia